

УТОЧНЕНИЕ КРИСТАЛЛИЧЕСКОЙ СТРУКТУРЫ ДИОПСИДА (Ca_{0.8}Fe_{0.2})(Mg_{0.8}Fe_{0.2})Si₂O₆ ИЗ ГАЗАХСКОГО ПРОГИБА (АЗЕРБАЙДЖАН)

© 2012 г. А. Ф. Ширинова, М. И. Чирагов, С. Э. Джагаров, М. Р. Гасанлы

Бакинский государственный университет, Азербайджан

E-mail: afashf@rambler.ru

Поступила в редакцию 23.11.2010 г.

Методом рентгеноструктурного анализа (PCA) уточнена кристаллическая структура клинопироксена. Параметры ячейки $a = 9.732(7)$, $b = 8.896(6)$, $c = 5.280(4)$ Å, $\beta = 106.160(11)^\circ$, $V = 439.1(5)$ Å³, пр. гр. C2/c, $Z = 4$. Структура определена прямыми методами и уточнена полноматричным методом наименьших квадратов в анизотропном приближении ($R[F^2 > 2\sigma(F^2)] = 0.027$, $wR(F^2) = 0.072$). По результатам PCA определена кристаллохимическая формула (Ca_{0.8}Fe_{0.2})(Mg_{0.8}Fe_{0.2})Si₂O₆. В структуре колонки (Mg, Fe)-октаэдров, двусторонне связываясь с Si₂O₆-цепочкой, создают структурную единицу с составом [(Mg, Fe)₂(Si₂O₆)₂]⁴⁻. Из последней формируется гетерогенный каркас, характерный для структур всех пироксенов, с составом [(Mg, Fe)₂(Si₂O₆)₂]²⁻, в котором соотношения [(Mg, Fe) + Si] : O = 3 : 6 (1 : 2). В пустотах каркаса располагаются атомы (Ca, Fe).

Известно, что одними из первых силикатов, изученных методом рентгеноструктурного анализа (PCA), являются минералы из семейства пироксенов [1, 2]. Детальное кристаллохимическое исследование их структур показало, что в семействах этих минералов разнотипные металлические катионы в широком диапазоне изоморфно замещают друг друга [3–6]. Цель настоящей работы – изучение изоморфного смешения и форм распределения катионов в трахиандезито-базальтовой формации Газахского прогиба (Азербайджан). Для этого уточнена кристаллическая структура пироксена, оксидный состав которого определен химическим анализом (мас. %): SiO₂ – 53.14; TiO₂ – 0.18; Al₂O₃ – 0.26; FeO – 11.8; MnO – 0.06; MgO – 14.22; CaO – 20.61; Na₂O – 0.21; K₂O – 0.01 и установлена эмпирическая формула минерала в виде (K_{0.001}Na_{0.015}Ca_{0.826}Mg_{0.797}Fe_{0.367}Ti_{0.05}Mn_{0.02})_{2.06}(Si_{1.986}Al_{0.011})_{1.997}O₆.

Для изучения структуры клинопироксена методом PCA были отобраны монокристаллы пироксена (из коллекции А.Д. Исмаил-заде). В табл. 1 представлены кристаллографические характеристики, экспериментальные данные и результаты исследования структуры клинопироксена. Все установленные данные или параметры показывают, что экспериментальные материалы получены на высоком уровне и структура определена с большой точностью. Структура расшифрована прямыми методами и уточнена методом наименьших квадратов в полноматричном приближении. Уточненные координаты базисных атомов приведены в табл. 2, анизотропные температурные поправки представлены в табл. 3. По результатам PCA определена кристаллохимическая

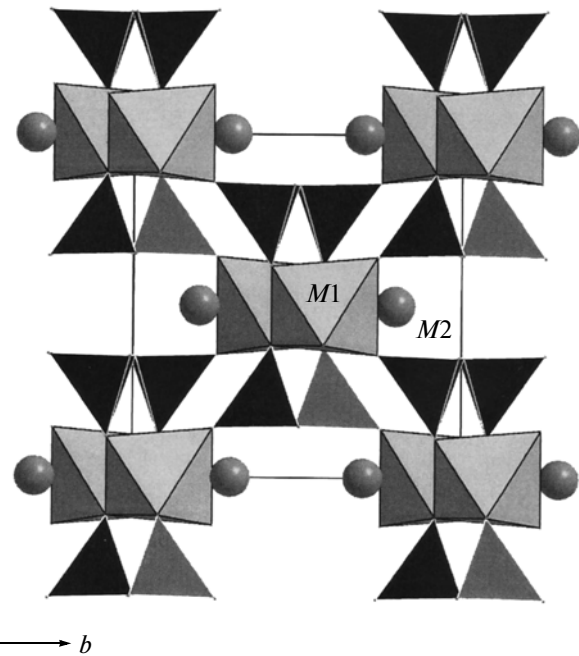
формула минерала: (Ca_{0.8}Fe_{0.2})(Mg_{0.8}Fe_{0.2})Si₂O₆. Принимая во внимание кристаллохимические особенности катионов и учитывая изменения фактора расходимости, в ходе уточнения структуры установлено, что в позиции M1 атом магния, а в позиции M2 атом кальция статистически в одинаковом количестве замещены атомами железа.

В структурах пироксенов положения октаэдрических и тетраэдрических катионов позволяют выделить два энантиоморфных родоначальных структурных минала [7]. В результате их полимеризации M1-октаэдры объединяются в колонки, простирающиеся вдоль оси c , а [SiO₄]-тетраэдры – в цепочки пироксенового типа. Октаэдрические колонки, двусторонне связываясь с тетраэдрической цепочкой, формируют структурные единицы состава [(Mg, Fe)₂(Si₂O₆)₂]⁴⁻, которые характерны для структур ромбических и моноклинных пироксенов. Из двух структурных единиц образуется гетерогенный каркас клинопироксена: [M₂Si₄O₁₂]⁴⁻ или 2[MSi₂O₆]⁴⁻. Химический состав смешанного каркаса соответствует составу классического тетраэдрического каркаса, где (M1 + Si) : O = 3 : 6 или 1 : 2. В структуре изученного клинопироксена (рисунок) в пустотах каркаса расположенные в позиции M2 атомы (Ca, Fe) координированы восемью мостиковыми атомами кислорода. В результате образуется восьмивершинник – искаженная двухшапочная тригональная призма.

Как видно из табл. 3, атомы смешанного каркаса, находящиеся в тетраэдрических и октаэдрических позициях, имеют более стабильные анизотропные температурные параметры. Увеличение значений температурных множителей для атомов (Ca, Fe) связано с неравномерностью межатом-

Таблица 1. Кристаллографические характеристики, данные экспериментов и уточнения структуры диопсида $(\text{Ca}_{0.8}\text{Fe}_{0.2})(\text{Mg}_{0.8}\text{Fe}_{0.2})\text{Si}_2\text{O}_6$

M	452.06
Сингония, пр. гр., Z	Моноклинная, $C2/c$, 4
$a, b, c, \text{\AA}$	9.732(7), 8.896(6), 5.280(4)
β , град	106.160(11) $^\circ$
$V, \text{\AA}^3$	439.1(5)
$D_x, \text{г}/\text{см}^3$	3.419
Излучение, $\lambda, \text{\AA}$	MoK_α , 0.71073
$\mu, \text{мм}^{-1}$	3.07
$F(000)$	448
$T, \text{К}$	296
Размер образца, мм	0.10 \times 0.10 \times 0.10
Дифрактометр	Bruker APEX-II, CCD
Тип сканирования	$\omega/2\theta$
Учет поглощения, T_{\min}, T_{\max}	Полуэмпирический, по эквивалентам, 0.749, 0.749
θ_{\max} , град	28.5
Пределы h, k, l	$-13 \leq h \leq 13, -11 \leq k \leq 11, -7 \leq l \leq 7$
Число отражений: измеренных/независимых (N_1), $R_{int}/c I > 2\sigma (N_2)$	2370/546, 0.017/542
Метод уточнения	МНК по F^2
Число параметров	49
Весовая схема	$1/[\sigma^2(F_0^2) + (0.030P)^2 + 2.6P]$ $P = (F_0^2 + 2F_c^2)/3$
Факторы недостоверности:	
Окончательный R -фактор [$I > 2\sigma(I)$]	$R_1 = 0.0274, wR_2 = 0.0724$
R -фактор (по всем данным)	$R_1 = 0.0275, wR_2 = 0.0724$
S	1.04
$\Delta\rho_{\max}/\Delta\rho_{\min}, \text{э}/\text{\AA}^3$	0.37/-0.53
Программа	SHELXS97



Кристаллическая структура диопсида: смешанный каркас из цепочек Si-тетраэдров и (Mg, Fe)-октаэдров; атомы (Ca, Fe) расположены в каналах каркаса.

ных расстояний или их статистической разупорядоченностью.

В структуре клинопироксена (табл. 4), в $[\text{SiO}_4]$ -тетраэдре расстояние от атома кремния до атома мостишкового кислорода O(1) удлинено (1.669 и 1.688 Å), а до атомов O(2) и O(3), связанных с металлическими катионами, укорочено (1.600 и 1.616 Å) по сравнению с $(\text{Si}-\text{O})_{\text{cp}} = 1.643 \text{ \AA}$, т.е. Si-тетраэдр искажен. В (Mg, Fe)-октаэдре расстояния (Mg, Fe)-O изменяются незначительно (от 2.055 до 2.090 Å), $[(\text{Mg}, \text{Fe})-\text{O}]_{\text{cp}} = 2.069 \text{ \AA}$. Средние значения валентных углов в тетраэдре $(\text{O}-\text{Si}-\text{O})_{\text{cp}}$ и в октаэдре $[\text{O}-(\text{Mg}, \text{Fe})-\text{O}]_{\text{cp}}$ соответствуют идеальному тетраэдрическому 109.33° и октаэдрическому 90.07° (табл. 4). В $[\text{SiO}_4]$ -тетраэдре и $[(\text{Mg}, \text{Fe})\text{O}_6]$ -октаэдре средние расстояния

Таблица 2. Координаты атомов ($\times 10^{-4}$) и эквивалентные тепловые параметры ($\times 10^{-3}$) в структуре диопсида $(\text{Ca}_{0.8}\text{Fe}_{0.2})(\text{Mg}_{0.8}\text{Fe}_{0.2})\text{Si}_2\text{O}_6$

Атомы	Кратность позиций	x	y	z	$U_{\text{экв}}$	Заселенность (<1)
(Mg, Fe)	4e	0	0835(8)	2500	13(2)	$0.80\text{Mg} + 0.20\text{Fe}$
(Ca, Fe)	4e	0	-3068(2)	2500	23(2)	$0.80\text{Ca} + 0.20\text{Fe}$
Si	8f	2877(2)	-0930(2)	2301(2)	17(2)	
O(1)	8f	3512(2)	-0190(2)	-0050(3)	20(2)	
O(2)	8f	1149(2)	-0875(2)	1406(4)	20(2)	
O(3)	8f	3621(2)	-2519(2)	3214(3)	23(2)	

Таблица 3. Анизотропные температурные параметры ($\times 10^{-3}$) в структуре диопсида $(\text{Ca}_{0.8}\text{Fe}_{0.2})(\text{Mg}_{0.8}\text{Fe}_{0.2})\text{Si}_2\text{O}_6$

Атомы	<i>U</i> 11	<i>U</i> 22	<i>U</i> 33	<i>U</i> 23	<i>U</i> 13	<i>U</i> 12
(Mg, Fe)	18(1)	3(3)	17(1)	0	4(1)	0
(Ca, Fe)	27(1)	17(1)	23(1)	0	4(1)	0
Si	16(1)	16(1)	17(1)	0(1)	4(1)	0(1)
O(1)	19(1)	21(1)	21(1)	3(1)	4(1)	0(1)
O(2)	18(1)	21(1)	21(1)	1(1)	5(1)	-1(1)
O(3)	24(1)	20(1)	24(1)	2(1)	7(1)	2(1)

Примечание. Расчет температурных параметров проводился по $-2\pi^{-2} [h^2 a^{*2} U_{11} + \dots + 2hka^{*b*} U_{12}]$.

Таблица 4. Межатомные расстояния *d* (Å) и валентные углы ω (град) в структуре диопсида $(\text{Ca}_{0.8}\text{Fe}_{0.2})(\text{Mg}_{0.8}\text{Fe}_{0.2})\text{Si}_2\text{O}_6$

Связь	<i>d</i>	Связь	<i>d</i>
Si—O(3)	1.600(2)	(Ca, Fe)—O(3) ^{#6}	2.346(2) × 2
—O(2)	1.616(2)	—O(2)	2.398(3) × 2
—O(1)	1.669(2)	—O(1) ^{#8}	2.527(3) × 2
—O(1) ^{#4}	1.688(2)	—O(1) ^{#10}	2.686(2) × 2
(Si—O) _{cp}	1.643(2)	[(Ca, Fe)—O] _{cp}	2.489
(Mg, Fe)—O(2) ^{#3}	2.055(2) × 2		
—O(2) ^{#5}	2.064(2) × 2		
—O(3) ^{#1}	2.090(2) × 2		
[(Mg, Fe)—O] _{cp}	2.069		
Угол	ω	Угол	ω
O(2) ^{#3} —(Mg, Fe)—O(2) ^{#5}	96.19(17) × 2	O(3)—Si—O(2)	117.51(10)
O(2) ^{#4} —(Mg, Fe)—O(2) ^{#5}	85.28(15) × 2	O(3)—Si—O(1)	110.02(10)
O(2) ^{#5} —(Mg, Fe)—O(2)	85.0(3)	O(2)—Si—O(1)	109.98(10)
O(2) ^{#3} —(Mg, Fe)—O(3) ^{#1}	90.24(16) × 2	O(3)—Si—O(1) ^{#4}	103.92(11)
O(2) ^{#4} —(Mg, Fe)—O(3) ^{#1}	88.37(15) × 2	O(2)—Si—O(1) ^{#4}	109.63(10)
O(2)—(Mg, Fe)—O(3) ^{#1}	92.35(9) × 2	O(1)—Si—O(1) ^{#4}	104.91(8)(6)
O(3) ^{#1} —(Mg, Fe)—O(3) ^{#2}	91.0(3)	(O—Si—O) _{cp}	109.33
[O—(Mg, Fe)—O] _{cp}	90.07	Si—O ₁ —Si	136.33
		O(1)—O(1)'—O(1)"	165.4
		O(3)—O(1)—O(3)'	161.6

Примечание. Преобразования симметрии, определяющие эквивалентные координаты атомов: #1 $-x + 1/2, y + 1/2, -z + 1/2$; #2 $x - 1/2, y + 1/2, z$; #3 $-x, -y, -z$; #4 $x, -y, z + 1/2$; #5 $-x, y, -z + 1/2$; #6 $-x + 1/2, -y - 1/2, -z + 1$; #7 $x - 1/2, -y - 1/2, z - 1/2$; #8 $x - 1/2, y - 1/2, z$; #9 $-x + 1/2, y - 1/2, -z + 1/2$; #10 $-x + 1/2, -y - 1/2, -z$; #11 $x - 1/2, -y - 1/2, z + 1/2$; #12 $x, -y, z - 1/2$; #13 $x + 1/2, y + 1/2, z$; #14 $x + 1/2, y - 1/2, z$.

$(\text{O}—\text{O})_{\text{cp}} = 2.678$ и 2.927 Å соответственно. Неоднородность значений межатомных расстояний наблюдается в (Ca, Fe)-восьмивершиннике. Атомы (Ca, Fe), расположенные в каналах с шестиугольным сечением каркаса, жестко связаны с мостиковыми атомами кислорода O(2) и O(3) (межатомные расстояния (Ca, Fe)—O = 2.346 и 2.398 Å, соответственно), четыре расстояния (Ca, Fe)—O(1) более удлиненные (2.527×2 и 2.686×2 Å), среднее расстояние $[(\text{Ca}, \text{Fe})—\text{O}]_{\text{cp}} = 2.489$ Å. Неоднородность межатомных расстоя-

ний в Si-тетраэдре и (Ca, Fe)-полиэдре связана с распределением формального баланса валентности на анионах. Для атома кислорода O(1) наблюдается избыток, а для O(2) и O(3) – дефицит валентных усилий, которые компенсируются удлинением или уменьшением межатомных расстояний.

В цепочке Si_2O_6 изученной структуры угол Si—O—Si = 136.33° , угол между мостиковыми атомами кислорода O(1)—O(1)'—O(1)" = 165.4° , а между свободными и мостиковыми атомами кислорода

в тетраэдрах $O(3)-O(1)-O(3)' = 161.6^\circ$. В структурах клинопироксенов, где изоморфное замещение характерно как для $M1$, так и для $M2$ позиций [8–10], значения соответствующих углов $Si-O-Si$ изменяются в пределах $135.9^\circ-136.4^\circ$, углы между мостиковыми атомами кислорода $O(1)-O(1)'-O(1)'' = 164.5^\circ-166.4^\circ$, а между мостиковыми и свободными атомами $O(3)-O(1)'-O(3)'$ оно составляет $161.4^\circ-161.9^\circ$. Последнее показывает, что в структуре диопсида тетраэдрическая цепочка сравнительно выпрямленная, как это характерно для высокотемпературных образований клинопироксенов.

В структуре диопсида восьмивершинники атомов кальция в смешанных каналах с шестиугольным сечением создают зигзагообразные колонки с периодом $c = 5.28 \text{ \AA}$. В структуре Na-цеолита [11] в тетраэдрических каналах полиэдры натрия создают подобные зигзагообразные колонки с параметром $c = 5.23 \text{ \AA}$.

Таким образом, в результате уточнения структуры установлена новая разновидность диопсида с химическим составом $(Ca_{0.8}Fe_{0.2})(Mg_{0.8}Fe_{0.2})Si_2O_6$, где в $M1$ - и $M2$ -позициях атомы магния и кальция в одинаковом количестве изоморфно замещаются атомами железа. Сопоставление структуры минералов из семейства клинопироксенов показывает, что они различаются по степени скрученности кремнекислородных цепочек и по окружению катионов, расположенных в позициях $M2$, которые также влияют на форму $[SiO_4]$ -тетраэдра, так как в координацию $M2$ входят мостиковые атомы кислорода цепочек. Следует отметить увеличение расстояний $Si-O(1) = 1.669, 1.688 \text{ \AA}$ и $M2-O(1) = 2.527, 2.686 \text{ \AA}$. Эти структурные особенности наблюдаются в структурах всех клинопироксенов. Если в их структурах в позиции $M2$ располагаются мелкие катионы, то расстояние $M2-O$ изменяется в пределах $2.15-2.225 \text{ \AA}$, а его координационное число уменьшается до шести. В таком случае с изменением симметрии структуры цепочки становятся неэквивалентными. В одной

цепочке значения валентных углов между мостиковыми атомами $O(1)-O(1)'-O(1)'' = 142^\circ$, а в другой 167° . Это влияет на скрученность $Si-O$ -цепочек. Если в позиции $M1$ располагаются мелкие, а в позиции $M2$ крупные катионы, то расстояние $M1-O$ изменяется в пределах $2.077-2.173 \text{ \AA}$, а $M2-O$ в пределах $2.344-2.514 \text{ \AA}$. Значение валентных углов между мостиковыми атомами $O(1)-O(1)'-O(1)''$ варьирует от $164.5^\circ-166.4^\circ$. Наблюдается увеличение координационного числа катионов в позиции $M2$ до восьми, а $Si-O$ -цепочка становится более выпрямленной. Сопоставление структурных параметров новой разновидности диопсида и других клинопироксенов показывает, что изученный минерал – это продукт кристаллизации ранних пироксенов вулканических пород.

СПИСОК ЛИТЕРАТУРЫ

1. Warren B.E., Breqq W.L. // Z. Kristallogr. 1928. B. 69. S. 168.
2. Peacor D. R. // Am. Mineral. 1967. V. 52. P. 31.
3. Morimoto N., Güven N. // Am. Mineral. 1970. V. 55. P. 1195.
4. Ohashi Y., Burnham C.W., Finger L.W. // Am. Mineral. 1975. V. 60. P. 423.
5. Пущаровский Д. Ю. Структурная минералогия силикатов и синтетических аналогов. М.: Недра, 1986. 161 с.
6. Morimoto N. // Can. Mineral. 1989. V. 27. P. 143.
7. Чирағов М.И. Сравнительная кристаллохимия кальциевых и редкоземельных силикатов. Баку: Чашыоглы, 2002. 360 с.
8. Gordon W.A., Peacor D.R., Brown P.E. et al. // Am. Mineral. 1981. V. 66. P. 127.
9. Raudsepp M., Hawthorne F.C., Turnock A.C. // Can. Mineral. 1990. V. 28. P. 93.
10. Nestola F., Tribaudino M., Ballaran T.B. et al. // Am. Mineral. 2007. V. 92. P. 1492.
11. Рагимов К.Г., Чирағов М.И., Мустафаев Н.М., Мамедов Х.С. // Докл. АН СССР. 1978. Т. 242. С. 839.